

101-(7) 一般応力型試験機による粘土の応力・変形特性

九州大学工学部 正山内豊聰, 卷内勝彦
学・藤畠定生, 小川清志
高橋正行

I. まえがき

土の応力・変形・強度特性を室内実験的に求めるには、実際の現場で生ずる複雑かつ多様な応力経路を再現できる試験装置が必要となる。そこで立方供試体の境界面上に相異なる3垂直応力と3せん断応力を同時に載荷可能な一般応力型圧縮試験機が試作された¹⁾。この装置によって原理的に最も完全な一般応力状態が供試体に載荷される。本文では土の変形状態の基本的パターンの一つである単純せん断変形について報告する。今回の実験は単純せん断応力の載荷方向を一方向に限っているが、従来の通常の単純せん断試験装置（ほとんど平面ひずみ条件ないしはK条件に制約されている）と異なり、その特徴は三つの垂直応力制御を行つたため、一方向単純せん断変形に起因する三次元的変形を測定できる点にある。なお、供試体としては、静的締固めによる不飽和粘土を用い、締固め方向と載荷方向に関連して、応力・変形に与える三方向垂直応力の影響について考察した。

II. 実験方法および実験条件

実験装置の詳細は文献¹⁾にある。載荷方法は図-1にあるように、垂直応力 σ_z と σ_x は剛板方式、 σ_y は鋼製ロッドにより加压し、せん断応力 τ は変位制御（電動ギヤー）で載荷する。これらに対応する各ひずみ成分 ϵ_x , ϵ_y , ϵ_z も同時に計測される。試料には、白色粘土（市販カオリン、 $G_s = 2.69$, $N_L = 49.6\%$, $I_p = 26.4\%$ ）を使用し、先ず表-1に示す締固め条件で静的締固め（フローティングモールド法）を行い、トリマーで供試体（初期寸法91mm立方体）を成形作製した後、パラフィルムメンブレンでシールした。次に載荷条件は一定の等方拘束圧、または異方拘束圧で圧密終了後、単純せん断応力を单调調負荷（変位速度1.3mm/min）させた。供試体の締固め方向と単純せん断方向の組合せは、図-2に示す二つのパターンで行った。試験条件と試験番号は表-2, 3にまとめてある。

III. 実験結果および考察

III-1 等方圧単純せん断試験 (1) σ_z ~ ϵ_z 関係(図-3, 4)
 等方垂直応力下の単純せん断応力へひずみ曲線を両対数で図示したのが図-3である。せん断ひずみが15%を超えてもほぼ直線的であり、ピーク値を示さないのが特徴と言える。これは単純せん断状態では一面せん断的な供試体内での局部的せん断の発達しにくいためと考えられる。拘束圧がせん断抵抗に与える影響をみると、一般的傾向としてパターンA, Bとも拘束圧の増大に伴い、せん断応力抵抗が大きくなると言える。図-4の体積変化曲線でやはり拘束圧が大きいほど体積収縮傾向があり、拘束圧が小さくなるにつれて変化曲線は水平もしくは膨張側に転ずる。せん断方向と土構造（締固め方向による異方性）の関係を図-3で見ると、パターンBはAより全般を通じてせん断抵抗が大きい。この傾向は平面ひずみ条件での結果とも一致する。また、

図-4の①と②, ③と④をそれぞれ比較してもBの方が体積収縮 ΔV は少ないことや、次に示すモールひずみ円でも側方ひずみ(ϵ_2)が小さいことから図-2供試体のセットパターンも、土構造による異方性が力学的性質および変形性状に影響を及ぼしていることが分る。(2)三次元モール円(図-5, 6) 一定のせん断応力レベル(ここでは $\tau = 0.45 \text{ kgf/cm}^2$)での供試体内部の応力状態とひずみ状態をみるために、三次元モール応力円とひずみ円をパターンAとBについて示し

表-1 供試体の締固め条件

含水比 (%)	32.3-35.7
乾燥密度 (kg/m ³)	1.28-1.33
飽和度 (%)	82.8-88.8

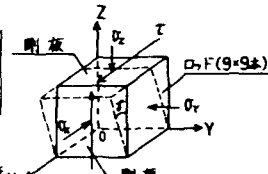


表-2 等方圧試験

拘束圧 (kgf/cm ²)	パターン	A	B
0.3	⑤		
0.6	①	②	
0.9	⑥		
1.2	③	④	

表-3 異方圧試験

外-3 (kgf/cm ²)	内-3 (kgf/cm ²)	外-2 (kgf/cm ²)	内-2 (kgf/cm ²)
⑦ 0.6			
⑧ 0.7			
⑨ 0.8			
⑩ 0.9	0.6	1.2	
⑪ 1.0			
⑫ 1.1			

たのが図-5,6である。ここでひずみ円の上半は $E_1 E_2$ 円、下半は $E_1 E_3$ 円、 $E_2 E_3$ 円を示す。また図中の印は八面体応力、ひずみの点である。図-5で $\sigma=0.3 \text{ kip/cm}^2$ の場合、供試体内で引張応力(ϵ_3)が発生している。これが図-4の⑤である頗著なダイレインシーアクションと関係があると考えられる。図-5,6ともにモール応力円はひずみ円と幾何学的相似を示していないが、このことは供試体が等方性でないことを示唆する。同じ応力状態でのパターンAとBを比較すると中間主ひずみパラメータ $\gamma = (2E_2 - E_1 - E_3) / (E_1 - E_3)$ はAの方がやや大きく、 $\gamma_A = 0.44 > \gamma_B = 0.30 (\sigma = 0.6 \text{ kip/cm}^2)$ 、 $\gamma_A = 0.50 > \gamma_B = 0.33 (\sigma = 1.2 \text{ kip/cm}^2)$ であり、土構造の違い(異方性)を示している。今回の場合、中間主ひずみ $E_2 = E_y$ であり、前述の側方ひずみ E_y がパターンBの方がAより小さいことがひずみ円によって分る。

III-2 異方圧単純せん断試験 (1) τ - ϵ - E_y 関係(図-7,8)

単純せん断過程で、せん断方向に垂直な面上のひずみが増加する場合のパターンAについての τ - ϵ - E_y 関係を示したのが図-7,8である。図-7は図-3と同様に直線的関係が見られるがひずみのせん断抵抗に与える影響は単調ではない。図-8についても、図-4のような傾向が見られるが複雑である。これらの理由はひずみの大きさと単純せん断(てび増大)過程が、それぞれの応力条件で主軸の回転を異質にするためと、中間主応力の影響が入ってくるためと考えられる。図-5 $\tau = 0.45$ におけるモール円

(2)ひずみの影響(図-9,10) 図-9は、せん断中のひずみをパラメータとして、ひずみレベルが増大するにつれてひずみがせん断応力に与える影響を表わしている。ひずみレベルが増大するにつれてひずみは増加し、かつひずみの影響は凸形の傾向を示している。このことは、 $\sigma_x = 0.6 \text{ kip/cm}^2$ の場合が初期には三軸圧縮状態($\sigma_x = \sigma_y = 0.6, \sigma_z = 1.2 \text{ kip/cm}^2$)であり、 $\sigma_x = 1.2 \text{ kip/cm}^2$ の場合が三軸伸張状態($\sigma_x = 0.6, \sigma_y = \sigma_z = 1.2 \text{ kip/cm}^2$)であることから考えて、中間主応力の影響が入ってきているものと推察される。図-10は、せん断応力をパラメータとして、ひずみがせん断ひずみに及ぼす傾向を示したもので、図-9と同じ意義をもつ。

IV. あとがき

以上の結果から次のことが明らかになった。

(1)単純せん断中の拘束応力(垂直応力)を一定にして行う場合、 τ - ϵ - E_y 関係に三つの垂直応力の大きさが影響を及ぼす。(2)土の構成方向(異方性)はせん断応力方向に関連して供試体内のひずみ状態に影響を与える、三次元モール応力円とひずみ円は相似形とならない。(3)せん断方向の垂直応力 σ_z の増大は主軸回転や中間主応力の影響が考えられ、通常の単純せん断試験(例えばK6条件での試験)の結果に複雑な影響を及ぼす。

〈参考文献〉

- 1)山内・巻内・藤畠(1980):昭和54年度土木学会西部支部講演集 pp.119-120
- 2)山内・巻内・美濃(1980):第35回土木学会年次学術講演概要集 III, pp.47-48
- 3)土質工学会(1979):土質試験法(第2回改訂版) p.551

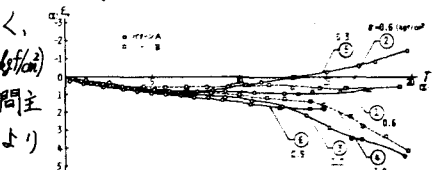
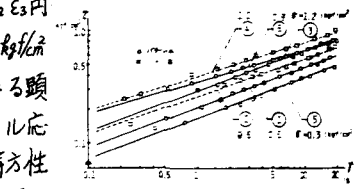


図-4 ϵ - τ 曲線(等方圧試験)

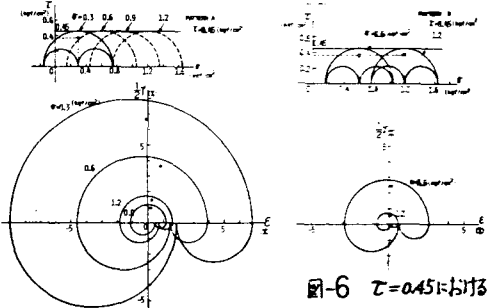


図-6 $\tau = 0.45$ におけるモール円

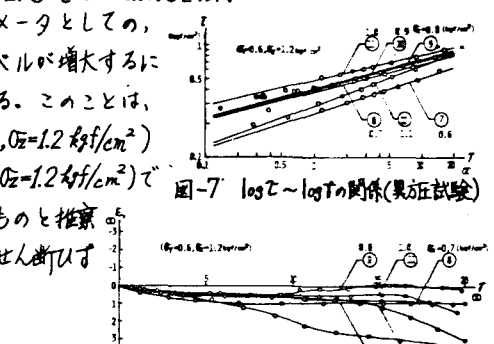


図-7 $\log \tau - \log \epsilon$ の関係(等方圧試験)

図-8 $\tau - E_y$ の関係

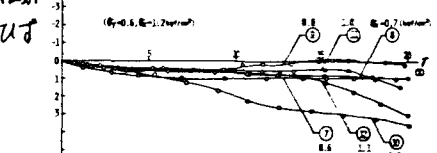


図-9 $\tau - \epsilon$ の関係

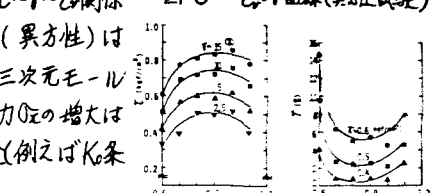


図-10 $\tau - \sigma_z$ の関係